



calculatoratoz.com



unitsconverters.com

Enlace iónico Fórmulas

¡Calculadoras!

¡Ejemplos!

¡Conversiones!

Marcador calculatoratoz.com, unitsconverters.com

Cobertura más amplia de calculadoras y creciente - **¡30.000+ calculadoras!**

Calcular con una unidad diferente para cada variable - **¡Conversión de unidades integrada!**

La colección más amplia de medidas y unidades - **¡250+ Medidas!**

¡Siéntete libre de COMPARTIR este documento con tus amigos!

[Por favor, deje sus comentarios aquí...](#)



Lista de 42 Enlace iónico Fórmulas

Enlace iónico

1) Carga de ion dado potencial iónico

$$fx \quad q = \varphi \cdot r_{\text{ionic}}$$

Calculadora abierta 

$$ex \quad 0.3C = 300000V \cdot 10000A$$

2) Potencial iónico

$$fx \quad \varphi = \frac{q}{r_{\text{ionic}}}$$

Calculadora abierta 

$$ex \quad 300000V = \frac{0.3C}{10000A}$$

3) Radio de ion dado potencial iónico

$$fx \quad r_{\text{ionic}} = \frac{q}{\varphi}$$

Calculadora abierta 

$$ex \quad 10000A = \frac{0.3C}{300000V}$$

Energía reticular

4) Cambio de volumen de celosía

$$fx \quad V_{m_LE} = \frac{\Delta H - U}{P_{LE}}$$

Calculadora abierta 

$$ex \quad 22.4m^3/mol = \frac{21420J/mol - 3500J/mol}{800Pa}$$



5) Constante de interacción repulsiva 

$$fx \quad B = E_R \cdot (r_0^n - \{\text{born}\})$$

Calculadora abierta 

$$ex \quad 40033.26 = 5.8E^{12}J \cdot ((60A)^{0.9926})$$

6) Constante de interacción repulsiva dada la constante de Madelung 

$$fx \quad B_M = \frac{M \cdot (q^2) \cdot ([\text{Charge-e}]^2) \cdot (r_0^{n_{\text{born}}-1})}{4 \cdot \pi \cdot [\text{Permittivity-vacuum}] \cdot n_{\text{born}}}$$

Calculadora abierta 

$$ex \quad 4.1E^{-29} = \frac{1.7 \cdot ((0.3C)^2) \cdot ([\text{Charge-e}]^2) \cdot ((60A)^{0.9926-1})}{4 \cdot \pi \cdot [\text{Permittivity-vacuum}] \cdot 0.9926}$$

7) Constante de interacción repulsiva dada la energía total de Ion y Madelung Energy 

$$fx \quad B = (E_{\text{total}} - (E_M)) \cdot (r_0^n - \{\text{born}\})$$

Calculadora abierta 

$$ex \quad 39964.23 = (5.79E^{12}J - (-5.9E^{-21}J)) \cdot ((60A)^{0.9926})$$

8) Constante de interacción repulsiva usando energía total de iones 

fx

Calculadora abierta 

$$B = \left(E_{\text{total}} - \left(- \frac{M \cdot (q^2) \cdot ([\text{Charge-e}]^2)}{4 \cdot \pi \cdot [\text{Permittivity-vacuum}] \cdot r_0} \right) \right) \cdot (r_0^n - \{\text{born}\})$$

ex

$$39964.23 = \left(5.79E^{12}J - \left(- \frac{1.7 \cdot ((0.3C)^2) \cdot ([\text{Charge-e}]^2)}{4 \cdot \pi \cdot [\text{Permittivity-vacuum}] \cdot 60A} \right) \right) \cdot ((60A)^{0.9926})$$




9) Constante dependiendo de la compresibilidad usando la ecuación de Born-Mayer 

fx

Calculadora abierta 

$$\rho = \left(\left(\frac{U \cdot 4 \cdot \pi \cdot [\text{Permitivity-vacuum}] \cdot r_0}{[\text{Avaga-no}] \cdot M \cdot z^+ \cdot z^- \cdot ([\text{Charge-e}]^2)} \right) + 1 \right) \cdot r_0$$


$$\text{ex } 60.44435\text{A} = \left(\left(\frac{3500\text{J/mol} \cdot 4 \cdot \pi \cdot [\text{Permitivity-vacuum}] \cdot 60\text{A}}{[\text{Avaga-no}] \cdot 1.7 \cdot 4\text{C} \cdot 3\text{C} \cdot ([\text{Charge-e}]^2)} \right) + 1 \right) \cdot 60\text{A}$$

10) Energía de celosía usando entalpía de celosía 

$$\text{fx } U = \Delta H - (P_{LE} \cdot V_{m_LE})$$

Calculadora abierta 

$$\text{ex } 3500\text{J/mol} = 21420\text{J/mol} - (800\text{Pa} \cdot 22.4\text{m}^3/\text{mol})$$

11) Energía de celosía usando la ecuación de Born-Lande usando la aproximación de Kapustinskii 

fx

Calculadora abierta 

$$U = - \frac{[\text{Avaga-no}] \cdot N_{\text{ions}} \cdot 0.88 \cdot z^+ \cdot z^- \cdot ([\text{Charge-e}]^2) \cdot \left(1 - \left(\frac{1}{n_{\text{born}}}\right)\right)}{4 \cdot \pi \cdot [\text{Permitivity-vacuum}] \cdot r_0}$$

$$\text{ex } 3647.696\text{J/mol} = - \frac{[\text{Avaga-no}] \cdot 2 \cdot 0.88 \cdot 4\text{C} \cdot 3\text{C} \cdot ([\text{Charge-e}]^2) \cdot \left(1 - \left(\frac{1}{0.9926}\right)\right)}{4 \cdot \pi \cdot [\text{Permitivity-vacuum}] \cdot 60\text{A}}$$



12) Energía de celosía usando la ecuación de Born-Mayer 


fx

Calculadora abierta 

$$U = \frac{-[\text{Avaga-no}] \cdot M \cdot z^+ \cdot z^- \cdot ([\text{Charge-e}]^2) \cdot \left(1 - \left(\frac{\rho}{r_0}\right)\right)}{4 \cdot \pi \cdot [\text{Permitivity-vacuum}] \cdot r_0}$$

ex

$$3465.763\text{J/mol} = \frac{-[\text{Avaga-no}] \cdot 1.7 \cdot 4\text{C} \cdot 3\text{C} \cdot ([\text{Charge-e}]^2) \cdot \left(1 - \left(\frac{60.44\text{A}}{60\text{A}}\right)\right)}{4 \cdot \pi \cdot [\text{Permitivity-vacuum}] \cdot 60\text{A}}$$

13) Energía de celosía usando la ecuación de Kapustinskii 


fx

Calculadora abierta 

$$U_{\text{Kapustinskii}} = \frac{1.20200 \cdot (10^{-4}) \cdot N_{\text{ions}} \cdot z^+ \cdot z^- \cdot \left(1 - \left(\frac{3.45 \cdot (10^{-11})}{R_c + R_a}\right)\right)}{R_c + R_a}$$

ex

$$246889\text{J/mol} = \frac{1.20200 \cdot (10^{-4}) \cdot 2 \cdot 4\text{C} \cdot 3\text{C} \cdot \left(1 - \left(\frac{3.45 \cdot (10^{-11})}{65\text{A} + 51.5\text{A}}\right)\right)}{65\text{A} + 51.5\text{A}}$$

14) Energía de celosía usando la ecuación original de Kapustinskii 

fx


Calculadora abierta 

$$U_{\text{Kapustinskii}} = \frac{\left(\left(\frac{[\text{Kapustinskii_C}]}{1.20200}\right) \cdot 1.079\right) \cdot N_{\text{ions}} \cdot z^+ \cdot z^-}{R_c + R_a}$$

ex

$$222283.3\text{J/mol} = \frac{\left(\left(\frac{[\text{Kapustinskii_C}]}{1.20200}\right) \cdot 1.079\right) \cdot 2 \cdot 4\text{C} \cdot 3\text{C}}{65\text{A} + 51.5\text{A}}$$



15) Energía de celosía utilizando la ecuación de Born Lande 

fx

Calculadora abierta 

$$U = - \frac{[\text{Avaga-no}] \cdot M \cdot z^+ \cdot z^- \cdot ([\text{Charge-e}]^2) \cdot \left(1 - \left(\frac{1}{n_{\text{born}}}\right)\right)}{4 \cdot \pi \cdot [\text{Permitivity-vacuum}] \cdot r_0}$$

ex

$$3523.343\text{J/mol} = - \frac{[\text{Avaga-no}] \cdot 1.7 \cdot 4\text{C} \cdot 3\text{C} \cdot ([\text{Charge-e}]^2) \cdot \left(1 - \left(\frac{1}{0.9926}\right)\right)}{4 \cdot \pi \cdot [\text{Permitivity-vacuum}] \cdot 60\text{A}}$$

16) Energía potencial electrostática entre un par de iones 

fx

Calculadora abierta 

$$E_{\text{Pair}} = \frac{-(q^2) \cdot ([\text{Charge-e}]^2)}{4 \cdot \pi \cdot [\text{Permitivity-vacuum}] \cdot r_0}$$

ex

$$-3.5\text{E}^{-21}\text{J} = \frac{-((0.3\text{C})^2) \cdot ([\text{Charge-e}]^2)}{4 \cdot \pi \cdot [\text{Permitivity-vacuum}] \cdot 60\text{A}}$$

17) Energía potencial mínima de ion 

fx

Calculadora abierta 

$$E_{\text{min}} = \left(\frac{-(q^2) \cdot ([\text{Charge-e}]^2) \cdot M}{4 \cdot \pi \cdot [\text{Permitivity-vacuum}] \cdot r_0} \right) + \left(\frac{B}{r_0^n - \{\text{born}\}} \right)$$

ex

$$5.8\text{E}^{12}\text{J} = \left(\frac{-((0.3\text{C})^2) \cdot ([\text{Charge-e}]^2) \cdot 1.7}{4 \cdot \pi \cdot [\text{Permitivity-vacuum}] \cdot 60\text{A}} \right) + \left(\frac{40000}{(60\text{A})^{0.9926}} \right)$$



18) Energía total de iones dadas cargas y distancias 

fx

Calculadora abierta 

$$E_{\text{total}} = \left(\frac{-(q^2) \cdot ([\text{Charge-e}]^2) \cdot M}{4 \cdot \pi \cdot [\text{Permittivity-vacuum}] \cdot r_0} \right) + \left(\frac{B}{r_0^n - \{\text{born}\}} \right)$$

ex

$$5.8E^{12}J = \left(\frac{-((0.3C)^2) \cdot ([\text{Charge-e}]^2) \cdot 1.7}{4 \cdot \pi \cdot [\text{Permittivity-vacuum}] \cdot 60A} \right) + \left(\frac{40000}{(60A)^{0.9926}} \right)$$

19) Energía total de iones en la red 


fx

$$E_{\text{total}} = E_M + E_R$$

Calculadora abierta 

ex

$$5.8E^{12}J = -5.9E^{-21}J + 5.8E^{12}J$$

20) Entalpía de celosía usando energía de celosía 

fx

$$\Delta H = U + (p_{LE} \cdot V_{m_LE})$$

Calculadora abierta 

ex

$$21420J/mol = 3500J/mol + (800Pa \cdot 22.4m^3/mol)$$

21) Exponente de Born usando la ecuación de Born-Lande sin Constante de Madelung 

fx

$$n_{\text{born}} = \frac{1}{1 - \frac{-U \cdot 4 \cdot \pi \cdot [\text{Permittivity-vacuum}] \cdot r_0}{[\text{Avaga-no}] \cdot N_{\text{ions}} \cdot 0.88 \cdot ([\text{Charge-e}]^2) \cdot z^+ \cdot z^-}}$$

Calculadora abierta 

ex

$$0.992897 = \frac{1}{1 - \frac{-3500J/mol \cdot 4 \cdot \pi \cdot [\text{Permittivity-vacuum}] \cdot 60A}{[\text{Avaga-no}] \cdot 2 \cdot 0.88 \cdot ([\text{Charge-e}]^2) \cdot 4C \cdot 3C}}$$



22) Exponente de Born utilizando la ecuación de Lande de Born 

$$fx \quad n_{\text{born}} = \frac{1}{1 - \frac{-U \cdot 4 \cdot \pi \cdot [\text{Permitivity-vacuum}] \cdot r_0}{[\text{Avaga-no}] \cdot M \cdot ([\text{Charge-e}]^2) \cdot z^+ \cdot z^-}}$$

Calculadora abierta 

$$ex \quad 0.992649 = \frac{1}{1 - \frac{-3500\text{J/mol} \cdot 4 \cdot \pi \cdot [\text{Permitivity-vacuum}] \cdot 60\text{A}}{[\text{Avaga-no}] \cdot 1.7 \cdot ([\text{Charge-e}]^2) \cdot 4\text{C} \cdot 3\text{C}}}$$

23) Exponente nacido usando interacción repulsiva 

$$fx \quad n_{\text{born}} = \frac{\log 10 \left(\frac{B}{E_R} \right)}{\log 10} (r_0)$$

Calculadora abierta 

$$ex \quad 0.992644 = \frac{\log 10 \left(\frac{40000}{5.8E^{12}J} \right)}{\log 10} (60\text{A})$$

24) Interacción repulsiva 

$$fx \quad E_R = \frac{B}{r_0^n - \{\text{born}\}}$$

Calculadora abierta 

$$ex \quad 5.8E^{12}J = \frac{40000}{(60\text{A})^{0.9926}}$$


25) Interacción repulsiva usando energía total de iones 

$$fx \quad E_R = E_{\text{total}} - (E_M)$$

Calculadora abierta 

$$ex \quad 5.8E^{12}J = 5.79E^{12}J - (-5.9E^{-21}J)$$



26) Interacción repulsiva usando energía total de iones dadas cargas y distancias Calculadora abierta 

$$\text{fx } E_R = E_{\text{total}} - \frac{-(q^2) \cdot ([\text{Charge-e}]^2) \cdot M}{4 \cdot \pi \cdot [\text{Permittivity-vacuum}] \cdot r_0}$$

$$\text{ex } 5.8E^{12}J = 5.79E^{12}J - \frac{-((0.3C)^2) \cdot ([\text{Charge-e}]^2) \cdot 1.7}{4 \cdot \pi \cdot [\text{Permittivity-vacuum}] \cdot 60A}$$

27) Número de iones usando la aproximación de Kapustinskii Calculadora abierta 

$$\text{fx } N_{\text{ions}} = \frac{M}{0.88}$$

$$\text{ex } 1.931818 = \frac{1.7}{0.88}$$

28) Presión exterior de celosía Calculadora abierta 

$$\text{fx } P_{LE} = \frac{\Delta H - U}{V_{m_LE}}$$

$$\text{ex } 800Pa = \frac{21420J/mol - 3500J/mol}{22.4m^3/mol}$$

Distancia de acercamiento más cercano 29) Distancia de acercamiento más cercano usando Madelung Energy Calculadora abierta 

$$\text{fx } r_0 = - \frac{M \cdot (q^2) \cdot ([\text{Charge-e}]^2)}{4 \cdot \pi \cdot [\text{Permittivity-vacuum}] \cdot E_M}$$


$$\text{ex } 59.85591A = - \frac{1.7 \cdot ((0.3C)^2) \cdot ([\text{Charge-e}]^2)}{4 \cdot \pi \cdot [\text{Permittivity-vacuum}] \cdot -5.9E^{-21}J}$$



30) Distancia de acercamiento más cercano usando potencial electrostático Calculadora abierta 


$$\text{fx } r_0 = \frac{-(q^2) \cdot ([\text{Charge-e}]^2)}{4 \cdot \pi \cdot [\text{Permittivity-vacuum}] \cdot E_{\text{Pair}}}$$

$$\text{ex } 59.35292\text{A} = \frac{-((0.3\text{C})^2) \cdot ([\text{Charge-e}]^2)}{4 \cdot \pi \cdot [\text{Permittivity-vacuum}] \cdot -3.5\text{E}^{-21}\text{J}}$$

31) Distancia de acercamiento más cercano utilizando la ecuación de Born Lande Calculadora abierta 

$$\text{fx } r_0 = - \frac{[\text{Avaga-no}] \cdot M \cdot z^+ \cdot z^- \cdot ([\text{Charge-e}]^2) \cdot \left(1 - \left(\frac{1}{n_{\text{born}}}\right)\right)}{4 \cdot \pi \cdot [\text{Permittivity-vacuum}] \cdot U}$$

$$\text{ex } 60.40016\text{A} = - \frac{[\text{Avaga-no}] \cdot 1.7 \cdot 4\text{C} \cdot 3\text{C} \cdot ([\text{Charge-e}]^2) \cdot \left(1 - \left(\frac{1}{0.9926}\right)\right)}{4 \cdot \pi \cdot [\text{Permittivity-vacuum}] \cdot 3500\text{J/mol}}$$

32) Distancia de máxima aproximación utilizando la ecuación de Born-Lande sin la constante de Madelung Calculadora abierta 

$$\text{fx } r_0 = - \frac{[\text{Avaga-no}] \cdot N_{\text{ions}} \cdot 0.88 \cdot z^+ \cdot z^- \cdot ([\text{Charge-e}]^2) \cdot \left(1 - \left(\frac{1}{n_{\text{born}}}\right)\right)}{4 \cdot \pi \cdot [\text{Permittivity-vacuum}] \cdot U}$$

$$\text{ex } 62.53193\text{A} = - \frac{[\text{Avaga-no}] \cdot 2 \cdot 0.88 \cdot 4\text{C} \cdot 3\text{C} \cdot ([\text{Charge-e}]^2) \cdot \left(1 - \left(\frac{1}{0.9926}\right)\right)}{4 \cdot \pi \cdot [\text{Permittivity-vacuum}] \cdot 3500\text{J/mol}}$$



Constante de Madelung

33) Constante de Madelung dada la constante de interacción repulsiva

$$fx \quad M = \frac{B_M \cdot 4 \cdot \pi \cdot [\text{Permittivity-vacuum}] \cdot n_{\text{born}}}{(q^2) \cdot ([\text{Charge-e}]^2) \cdot (r_0^{n_{\text{born}}-1})}$$

Calculadora abierta 

$$ex \quad 1.702967 = \frac{4.1E^{-29} \cdot 4 \cdot \pi \cdot [\text{Permittivity-vacuum}] \cdot 0.9926}{((0.3C)^2) \cdot ([\text{Charge-e}]^2) \cdot ((60A)^{0.9926-1})}$$

34) Constante de Madelung usando la aproximación de Kapustinskii

$$fx \quad M = 0.88 \cdot N_{\text{ions}}$$

Calculadora abierta 

$$ex \quad 1.76 = 0.88 \cdot 2$$

35) Constante de Madelung usando la ecuación de Born-Mayer

$$fx \quad M = \frac{-U \cdot 4 \cdot \pi \cdot [\text{Permittivity-vacuum}] \cdot r_0}{[\text{Avaga-no}] \cdot z^+ \cdot z^- \cdot ([\text{Charge-e}]^2) \cdot \left(1 - \left(\frac{\rho}{r_0}\right)\right)}$$

Calculadora abierta 

$$ex \quad 1.716794 = \frac{-3500J/mol \cdot 4 \cdot \pi \cdot [\text{Permittivity-vacuum}] \cdot 60A}{[\text{Avaga-no}] \cdot 4C \cdot 3C \cdot ([\text{Charge-e}]^2) \cdot \left(1 - \left(\frac{60.44A}{60A}\right)\right)}$$

36) Constante de Madelung usando la energía total del ion dada la interacción repulsiva

$$fx \quad M = \frac{(E_{\text{tot}} - E) \cdot 4 \cdot \pi \cdot [\text{Permittivity-vacuum}] \cdot r_0}{-(q^2) \cdot ([\text{Charge-e}]^2)}$$

Calculadora abierta 

$$ex \quad 1.692481 = \frac{(7.02E^{-23}J - 5.93E^{-21}J) \cdot 4 \cdot \pi \cdot [\text{Permittivity-vacuum}] \cdot 60A}{-((0.3C)^2) \cdot ([\text{Charge-e}]^2)}$$



37) Constante de Madelung utilizando energía total de iones 

fx

Calculadora abierta 

$$M = \frac{\left(E_{\text{tot}} - \left(\frac{B_M}{r_0^n - \{\text{born}\}} \right) \right) \cdot 4 \cdot \pi \cdot [\text{Permittivity-vacuum}] \cdot r_0}{-(q^2) \cdot ([\text{Charge-e}]^2)}$$

ex $1.695387 = \frac{\left(7.02E^{-23}J - \left(\frac{4.1E^{-29}}{(60A)^{0.9926}} \right) \right) \cdot 4 \cdot \pi \cdot [\text{Permittivity-vacuum}] \cdot 60A}{-\left((0.3C)^2 \right) \cdot ([\text{Charge-e}]^2)}$

38) Constante de Madelung utilizando la ecuación de Born Lande 

fx

Calculadora abierta 

$$M = \frac{-U \cdot 4 \cdot \pi \cdot [\text{Permittivity-vacuum}] \cdot r_0}{\left(1 - \left(\frac{1}{n_{\text{born}}} \right) \right) \cdot ([\text{Charge-e}]^2) \cdot [\text{Avaga-no}] \cdot z^+ \cdot z^-}$$

ex $1.688737 = \frac{-3500J/\text{mol} \cdot 4 \cdot \pi \cdot [\text{Permittivity-vacuum}] \cdot 60A}{\left(1 - \left(\frac{1}{0.9926} \right) \right) \cdot ([\text{Charge-e}]^2) \cdot [\text{Avaga-no}] \cdot 4C \cdot 3C}$

39) Energía de Madelung usando energía total de iones 

fx

Calculadora abierta 

$$E_M = E_{\text{tot}} - E$$

ex $-5.9E^{-21}J = 7.02E^{-23}J - 5.93E^{-21}J$

40) Energía de Madelung usando la energía total de iones dada la distancia 

fx

Calculadora abierta 

$$E_M = E_{\text{tot}} - \left(\frac{B_M}{r_0^n - \{\text{born}\}} \right)$$

ex $-5.9E^{-21}J = 7.02E^{-23}J - \left(\frac{4.1E^{-29}}{(60A)^{0.9926}} \right)$



41) Energía Madelung Calculadora abierta 

$$\text{fx } E_M = - \frac{M \cdot (q^2) \cdot ([\text{Charge-e}]^2)}{4 \cdot \pi \cdot [\text{Permitivity-vacuum}] \cdot r_0}$$

$$\text{ex } -5.9E^{-21}J = - \frac{1.7 \cdot ((0.3C)^2) \cdot ([\text{Charge-e}]^2)}{4 \cdot \pi \cdot [\text{Permitivity-vacuum}] \cdot 60A}$$

42) Madelung Constant utilizando Madelung Energy Calculadora abierta 

$$\text{fx } M = \frac{-(E_M) \cdot 4 \cdot \pi \cdot [\text{Permitivity-vacuum}] \cdot r_0}{(q^2) \cdot ([\text{Charge-e}]^2)}$$

$$\text{ex } 1.704092 = \frac{-(-5.9E^{-21}J) \cdot 4 \cdot \pi \cdot [\text{Permitivity-vacuum}] \cdot 60A}{((0.3C)^2) \cdot ([\text{Charge-e}]^2)}$$



Variables utilizadas

- **B** Constante de interacción repulsiva
- **B_M** Constante de interacción repulsiva dada M
- **E** Interacción repulsiva entre iones (*Joule*)
- **E_M** Energía Madelung (*Joule*)
- **E_{min}** Energía potencial mínima de iones (*Joule*)
- **E_{Pair}** Energía potencial electrostática entre pares de iones (*Joule*)
- **E_R** Interacción repulsiva (*Joule*)
- **E_{tot}** Energía total de iones en un cristal iónico (*Joule*)
- **E_{total}** Energía total de iones (*Joule*)
- **M** Constante de Madelung
- **n_{born}** exponente nacido
- **N_{ions}** Número de iones
- **p_{LE}** Energía de red de presión (*Pascal*)
- **q** Cobrar (*Culombio*)
- **r₀** Distancia de acercamiento más cercano (*Angstrom*)
- **R_a** Radio de anión (*Angstrom*)
- **R_c** Radio de catión (*Angstrom*)
- **r_{ionic}** Radio iónico (*Angstrom*)
- **U** Energía reticular (*Joule / Mole*)
- **U_{Kapustinskii}** Energía reticular para la ecuación de Kapustinskii (*Joule / Mole*)
- **V_{m_LE}** Energía de red de volumen molar (*Metro cúbico / Mole*)
- **z⁻** Carga de anión (*Culombio*)
- **z⁺** Carga de catión (*Culombio*)
- **ΔH** Entalpía de celosía (*Joule / Mole*)
- **ρ** Constante en función de la compresibilidad (*Angstrom*)
- **φ** potencial iónico (*Voltio*)



Constantes, funciones, medidas utilizadas

- **Constante:** **pi**, 3.14159265358979323846264338327950288
Archimedes' constant
- **Constante:** **[Avaga-no]**, 6.02214076E23
Avogadro's number
- **Constante:** **[Charge-e]**, 1.60217662E-19 Coulomb
Charge of electron
- **Constante:** **[Kapustinskii_C]**, 1.20200×10^{-4} Joule Meter / Mole
Kapustinskii constant
- **Constante:** **[Permittivity-vacuum]**, 8.85E-12 Farad / Meter
Permittivity of vacuum
- **Función:** **log10**, $\log_{10}(\text{Number})$
Common logarithm function (base 10)
- **Medición:** **Longitud** in Angstrom (A)
Longitud Conversión de unidades 
- **Medición:** **Presión** in Pascal (Pa)
Presión Conversión de unidades 
- **Medición:** **Energía** in Joule (J)
Energía Conversión de unidades 
- **Medición:** **Carga eléctrica** in Culombio (C)
Carga eléctrica Conversión de unidades 
- **Medición:** **Potencial eléctrico** in Voltio (V)
Potencial eléctrico Conversión de unidades 
- **Medición:** **Susceptibilidad magnética molar** in Metro cúbico / Mole (m^3/mol)
Susceptibilidad magnética molar Conversión de unidades 
- **Medición:** **Entalpía molar** in Joule / Mole (J/mol)
Entalpía molar Conversión de unidades 



Consulte otras listas de fórmulas

- **Unión covalente Fórmulas** 
- **Electronegatividad Fórmulas** 
- **Enlace iónico Fórmulas** 

¡Siéntete libre de COMPARTIR este documento con tus amigos!

PDF Disponible en

[English](#) [Spanish](#) [French](#) [German](#) [Russian](#) [Italian](#) [Portuguese](#) [Polish](#) [Dutch](#)

11/29/2023 | 5:36:10 AM UTC

[Por favor, deje sus comentarios aquí...](#)

